

## Al<sub>2</sub>O<sub>3</sub> 세라믹의 미세구멍 가공에 관한 연구

윤 혁 중\*/대전기능대학, 임 순 재\*\*/한국표준과학연구원, 이 동 주\*\*\*/충남대학교

A study on the micro hole machining of Al<sub>2</sub>O<sub>3</sub> ceramics

H. J. Youn\*, S. J. Lim\*\*, D. J. Lee\*\*\*

### Abstract

This paper describes result of experiment of parameters affecting the micro hole drilling using laser such as energy, pulse, drilling time, kind of assisting gas and it's pressure.

The result reveals that parameter value of 0.08J, 20Hz, dwell time of 300 microseconds can be a good machining condition to make micro hole diameter range of 50-70 μm. Assistant gas such air, O<sub>2</sub>, Ar, N<sub>2</sub> was adapted.

Assistant gas of air makes heat affected zone enlarge due to burning of material, also it makes hole irregular and damage because of refusion stick to caused by chemical reaction with Al<sub>2</sub>O<sub>3</sub> ceramic material. O<sub>2</sub>(99.9%) has good characteristic to get good drilling and smooth surface on pressure of 0.2kgf/cm<sup>2</sup>, but it is expensive. Ar, N<sub>2</sub> makes material burn and crack severely and proved to be an appropriate but, Ar was better than N<sub>2</sub>.

### 1. 서 론

레이저에 의한 구멍가공은 소재 표면에 고밀도의 에너지빔을 접속·조사하여 이때 용융기화된 부분을 보조가스를 이용하여 구멍가공하게 된다. 보조가스는 렌즈보호와 가공 보조의 역할을 겸하는데, N<sub>2</sub>, Ar, He 등의 불활성 가스를 사용하는 경우와 O<sub>2</sub>, air 등의 산화가스를 사용하여 연소반응을 이용하는 경우가 있다. 알루미나(Al<sub>2</sub>O<sub>3</sub>)같은 세라믹은 깨지기 쉽고<sup>1)</sup> 가공상 난삭재로 알려져 왔으며, 레이저에 의한 구멍가공 방법으로는 조사된 레이저 빔으로 증발을 시켜 제거하는 방법<sup>(2)</sup>과 용융후 가스 압력으로 액체가 층류유동 형태로 불어내는 방법<sup>(3)</sup>이 있다.

레이저를 이용한 구멍가공에 있어 가공변수로는 레이저빔,<sup>4) 6)</sup> 가공속도<sup>7) 8)</sup>, 보조가스<sup>9) 10)</sup>, 초점거리<sup>11) 13)</sup>등이 있으며 이에 대한 연구들이 활발히 진행되어 왔다.

본 연구에서는 반도체 검사기에 사용되는 Al<sub>2</sub>O<sub>3</sub> 세라믹 박판 레이저 구멍가공에 대한 가공조건, 보조가스 종류, 보조가스 압력 등이 미치는 영향을 고찰하였다.

### 2. 실험 방법

#### 2.1 가공 변수

본 실험에서는 세라믹 미세 구멍 가공의 최적조건을 찾기위해 레이저 에너지, 가공주파수, 조사시간 등을 가공변수로 하였다. 또한, 가공변수의 가변범위는 레이저 에너지가 0.05~3J, 가공주파수 10~50Hz, 조사시간 100~500 μs로 하였고, 보조가스 종류별로 가공압력과 공급방법 등의 변화를 주면서 가공구멍의 크기와 열영향부를 측정·평가하였다.

#### 2.2 시료 물성 및 실험장치

가공시료의 물성은 Table 1과 같으며, 실험장치는 영국 Lumonics사의 최대평균출력 35W YAG레이저로 제원은 Table 2와 같다.

Table 1. Properties of hot pressed Al<sub>2</sub>O<sub>3</sub> ceramics

|                          |                          |                                      |                            |   |                                  |
|--------------------------|--------------------------|--------------------------------------|----------------------------|---|----------------------------------|
| density                  | 3.8<br>g/cm <sup>3</sup> | sublimation<br>Cal/g                 | 1333<br>Cal/g              | compressive<br>strength<br>cubical<br>resistivity<br>Ω.cm | 24,000<br>kg/cm <sup>2</sup>     |
| melting point            | 2050 °C                  | specific<br>heat<br>Cal/g°C          | 0.19                       | cubical<br>resistivity<br>Ω.cm                            | 10 <sup>11</sup>                 |
| boiling point            | 2980 °C                  | thermal<br>conductivity<br>·sec · °C | 0.03 Cal cm<br>·sec · °C   | Material<br>Size  | L*W*T<br>11*3*0.05               |
| melting latent heat      | 225<br>Cal/g             | absorption<br>coefficient            | 0%                         | coefficient<br>of thermal<br>expansion                    | 6.7~7.6<br>×10 <sup>-6</sup> /°C |
| vaporization latent heat | 1138<br>Cal/g            | tensile<br>strength                  | 2500<br>kg/cm <sup>2</sup> | Moh's<br>hardness   | 9                                |

Table 2 Specification of laser system (MS 35 LD, Lumonics C.O., UK)

|                    |             |                       |               |
|--------------------|-------------|-----------------------|---------------|
| Max power          | 35W         | pulse repetition rate | 50Hz          |
| Drilling thickness | 0.001 to 4  | pulse Duration        | 0.1mm.sec     |
| Hole Diameter      | > 0.003mm   | Lamp                  | 100 or 50(μF) |
| Max speed          | 50 hole/sec | X, Y table            | 1μm/100mm     |
| Max energy         | 1.5 J       | Demensions            | 1450×200×130  |

측정장치는 Table 3과 같은 미국 ROI사의 optical measurement inspection system을 이용하였다.

Table 3. Mesurement system ( ROI C.O., USA )

|                         |   |
|-------------------------|---|
| Travel size(mm)         | 100×200×200 (X,Y,Z)                                 |
| Resolution              | 0.001 - 0.0002mm                                    |
| A wide of Video monitor | 5× to 350× macro optics<br>5× to 8000× micro optics |

### 3. 실험결과 및 고찰

#### 3.1 가공 변수에 따른 가공형상

본 연구에서는 가공표면을 초점위치 0(zero)으로 놓고, 알루미나 세라믹 박판 ( $t=0.5\text{mm}$ )을 소재로 하였다. Fig.1은 레이저를 이용하여 미세 구멍 가공시 레이저 빔의 진행상태를 보여준다.

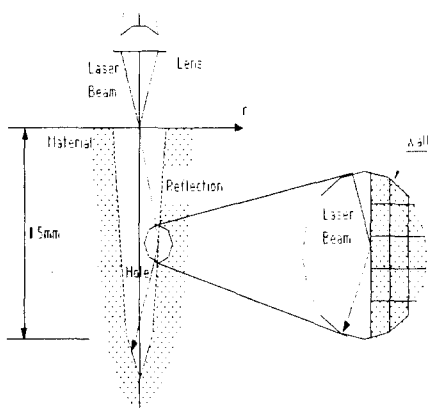


Fig. 1 Ray trace of simulation model

가공조건을 변화시켜가면서 얻은 구멍치수를 근거로하여 정리한 것이 Fig.2로써 가공조건의 범위는 O : 0.05J, X : 0.08J △ : 0.11J의 레이저 에너지로, 주파수는 20Hz, 조사시간  $300\mu\text{s}$ 로 조사시의 구멍형상을 보여주고 있다.

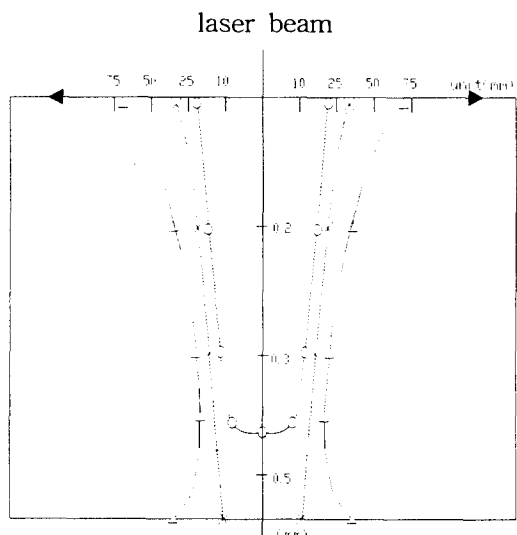


Fig. 2 Simulated hole features

실험결과는 Fig.2와 같이 윗면의 구멍직경  $75\mu\text{m}$ 정도 아랫면의 구멍직경  $45\mu\text{m}$ 정도의 구멍 형상을 얻는데, 레이저 에너지  $0.08\text{J}$ , 주파수  $20\text{-}30\text{Hz}$ , 조사시간  $300\mu\text{s}$ 로 나타났다.

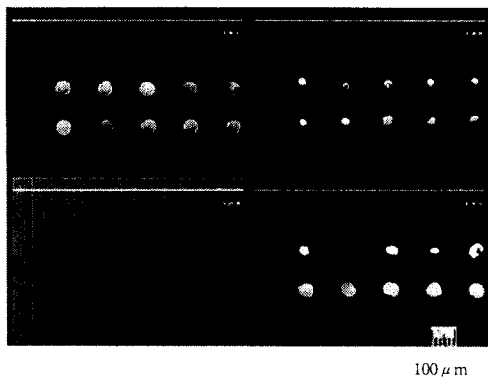
#### 3.2 보조가스가 구멍특성에 미치는 영향

보조가스의 종류는 air,  $\text{O}_2$ , Ar,  $\text{N}_2$ , 그리고 보조가스없는 경우로 실험하였고, 이때 가공조건은 레이저 에너지  $0.08\text{J}$ , 주파수  $20\text{Hz}$ , 조사시간 각  $300\mu\text{s}$ ,  $500\mu\text{s}$ 로 하였으며, 그 결과 시료 윗면의 구멍직경과 아랫면의 직경 및 형상을 비교하였다. Fig.3(a)은 air를 사용한 결과로써 구멍크기가 일정하지 않고, 용융후 슬래그가 달라붙고 표면 상태가 매끄럽지 못한 것을 볼 수 있다.

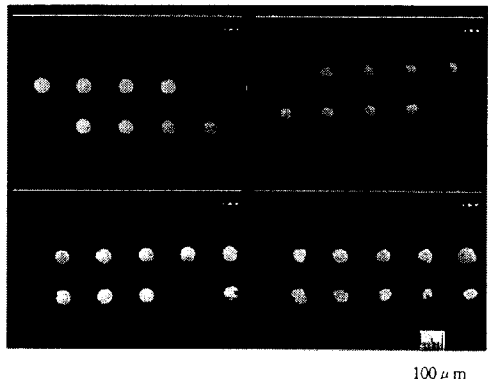
Fig.3(a)에서 윗부분은 조사시간  $300\mu\text{s}$ 이고, 아랫부분은 조사시간  $500\mu\text{s}$ 이며, 왼쪽은 소재 윗면의 구멍형상을, 오른쪽은 소재 아랫면의 구멍형상을 나타낸다. 여기에서 레이저 빔의 조사시간이 길면 구멍형상이 아랫면에서 크고, 불규칙한 형상으로 가공됨을 알 수 있었고, 열 영향 부위가 넓고 burning현상도 넓고 깊게 나타났다.

Fig.3(b)에서는  $\text{O}_2$ 를 사용한 결과 구멍형상이 매끄럽게 나타나고 burning현상도 줄어든 반면 레이저 빔의 조사시간  $300\mu\text{s}$ ,  $500\mu\text{s}$ 를 비교한 결과 소재 윗면의 구멍형상은 거의 차이가 없는 데, 아랫면의 구멍형상은 크기의 차이가 많이 났다.

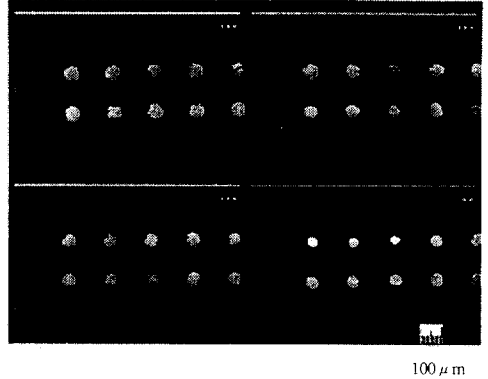
미가공된 부분은 수백개의 구멍 가공시에도 나타나는데, 에너지를 증가 시키던가, 주파수를



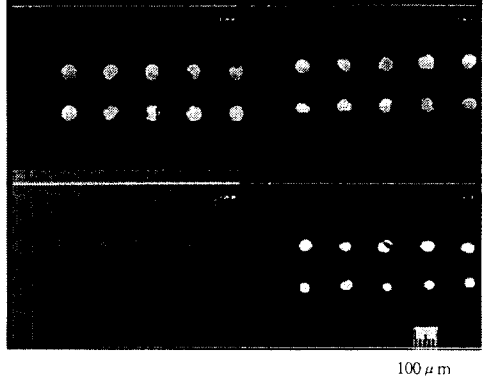
(a) Photo of Air



(b) Photo of O<sub>2</sub>



(c) Photo of Ar



(d) Photo of N<sub>2</sub>

Fig.3 Dependence of hole on kind of assistance gas

증가시켜야만 재 가공되었고, 구멍형상이 커짐을 발견할 수 있었다. 이는 소재의 결합력이 크고, 결정이 단단하기 때문이라고 추측된다. 또한, 보조가스로 air나 O<sub>2</sub>를 사용시 용융후 재응고 과정에서 표면장력으로 인한 구멍주위가 솟아 올라오는 경향도 파악되었다. 이때의 보조가스압은 1 kg/cm<sup>2</sup>으로 실험하였다. Fig.3의 (c)와 (d)는 불활성 가스인 Ar와 N<sub>2</sub>를 사용하여 실험한 결과인데 Fig.3(c)의 왼쪽 상단부는 조사시간 500 μs, 하단부는 조사시간 300 μs일 때의 가공상태이며, 용융현상은 air나 O<sub>2</sub>보다 적으나 균열이 많이 발생하고 있으며, 아랫면의 구멍형상은 조사시간 500 μs에서 구멍형상이 커짐을 볼 수 있다. Fig.3의 (d) N<sub>2</sub>역시 균열이 나타나고 burning 현상이 나타나는 것을 확인하였다.

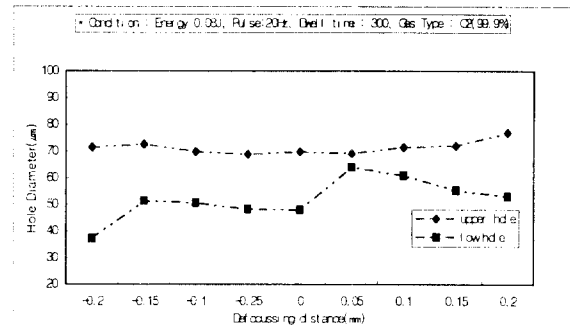


Fig. 4 Dependence of hole Diameter on defocus length

Table 4 Data of hole size on defocus length(unit : μm)

| hole no<br>head meter | 1  | 2  | 3  | 4  | 5  | 6  | 7  | 8  | 9  | 10   | Avg  |
|-----------------------|----|----|----|----|----|----|----|----|----|------|------|
| +0.20<br>top          | 80 | 75 | 71 | 80 | 73 | 75 | 80 | 75 | 80 | 80   | 76.9 |
|                       | 0  | 0  | 60 | 40 | 50 | 60 | 50 | 60 | 0  | 52   | 53.1 |
| +0.15<br>top          | 75 | 78 | 73 | 70 | 71 | 71 | 73 | 72 | 70 | 68   | 72.1 |
|                       | 0  | 60 | 55 | 48 | 60 | 60 | 51 | 58 | 50 | 0    | 55.3 |
| +0.10<br>top          | 70 | 71 | 71 | 70 | 75 | 71 | 70 | 73 | 72 | 71.4 |      |
|                       | 0  | 68 | 68 | 61 | 58 | 60 | 70 | 52 | 0  | 50   | 60.9 |
| +0.05<br>top          | 72 | 77 | 65 | 72 | 71 | 70 | 70 | 70 | 70 | 55   | 69.2 |
|                       | 68 | 68 | 0  | 60 | 60 | 68 | 60 | 68 | 65 | 60   | 64.1 |
| 0<br>top              | 70 | 67 | 68 | 65 | 70 | 70 | 78 | 71 | 69 | 70   | 69.8 |
|                       | 42 | 40 | 50 | 55 | 45 | 55 | 29 | 49 | 50 | 65   | 48.0 |
| -0.05<br>top          | 70 | 68 | 70 | 70 | 65 | 68 | 70 | 68 | 70 | 70   | 68.9 |
|                       | 0  | 30 | 50 | 60 | 45 | 40 | 60 | 60 | 50 | 40   | 48.3 |
| -0.10<br>top          | 70 | 70 | 70 | 70 | 72 | 70 | 70 | 68 | 68 | 70   | 69.8 |
|                       | 28 | 55 | 40 | 50 | 40 | 60 | 60 | 55 | 60 | 58   | 50.6 |
| -0.15<br>top          | 76 | 70 | 75 | 74 | 70 | 71 | 72 | 76 | 72 | 70   | 72.6 |
|                       | 42 | 62 | 64 | 62 | 42 | 38 | 52 | 48 | 0  | 32   | 51.3 |
| -0.20<br>top          | 72 | 70 | 72 | 71 | 70 | 70 | 72 | 72 | 70 | 75   | 71.4 |
|                       | 39 | 36 | 32 | 48 | 38 | 38 | 26 | 38 | 42 | 36   | 37.3 |

Fig.4와 Table 4는 초점거리에 따른 구멍의 크기와 가공형상을 보여주는 것으로 초점위치가 O(zero) 즉, 소재표면에서 작은 구멍형상을 볼수 있으며 초점거리가 +방향보다 -방향으로 진행되는 것이 구멍가공이 잘 되나 초점거리 -0.20에서 아랫면 구멍형상이 최소가 됨을 보여주는데 이는 초점 위치에서 구멍형상이 작아짐을 보여준다.

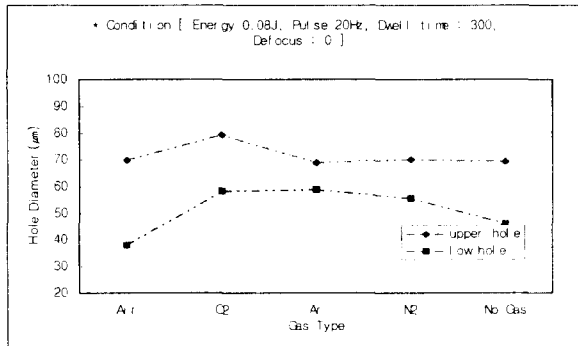


Fig. 5 Dependence of hole diameter a kind of assistance gas on dwell time  $300 \mu\text{s}$

Table 5 Data of hole size on dwell time  $300 \mu\text{s}$  (unit :  $\mu\text{m}$ )

| hole no \ gas type | 1      | 2  | 3  | 4  | 5  | 6  | 7  | 8  | 9  | 10 | Avg  |
|--------------------|--------|----|----|----|----|----|----|----|----|----|------|
| Air                | top    | 70 | 68 | 70 | 71 | 70 | 71 | 70 | 70 | 69 | 69.9 |
|                    | bottom | 40 | 31 | 40 | 35 | 32 | 32 | 32 | 48 | 40 | 38.3 |
| O <sub>2</sub>     | top    | 80 | 80 | 78 | 80 | 79 | 80 | 78 | 80 | 78 | 79.3 |
|                    | bottom | 60 | 60 | 59 | 62 | 0  | 0  | 60 | 60 | 56 | 58.4 |
| Ar                 | top    | 70 | 70 | 69 | 70 | 62 | 70 | 69 | 70 | 70 | 69.0 |
|                    | bottom | 55 | 49 | 50 | 60 | 58 | 62 | 60 | 60 | 69 | 58.8 |
| N <sub>2</sub>     | top    | 73 | 71 | 80 | 58 | 65 | 70 | 64 | 80 | 60 | 70.1 |
|                    | bottom | 55 | 53 | 68 | 70 | 63 | 48 | 53 | 46 | 50 | 55.6 |
| no gas             | top    | 68 | 68 | 70 | 70 | 70 | 68 | 70 | 70 | 71 | 69   |
|                    | bottom | 46 | 43 | 47 | 48 | 47 | 45 | 46 | 46 | 48 | 45.4 |

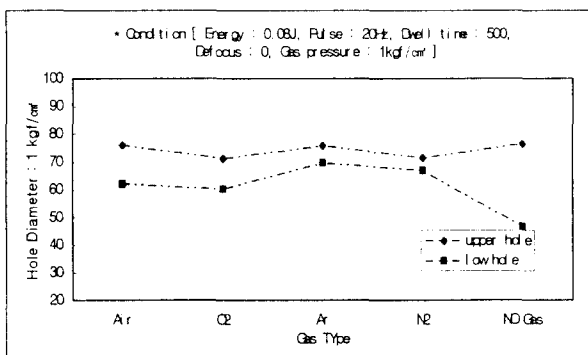


Fig. 6 Dependence of hole diameter a kind of assistance gas on dwell time  $500 \mu\text{s}$

Fig.5와 Fig.6에서는 조사시간  $300 \mu\text{s}$ 와 조사시간  $500 \mu\text{s}$ 에서 보조가스 종류별 가공상태를 보여주는데, 보조가스 사용시 용융후 불어내기 때문에 구멍편차가 재응고 과정에서 심하게 나타나며, 보조가스없이 가공된 면은 구멍형상의 편차가 적게 나타나는데, 구멍주위에 균열이 많이 발생됨을 볼수 있었고, 가공표면 상태는 O<sub>2</sub> 사용시에 가장 매끄러운 표면을 얻을수 있다.

Table 6 Data of hole size on dwell time  $500 \mu\text{s}$  (unit :  $\mu\text{m}$ )

| hole no \ gas type | 1      | 2  | 3  | 4  | 5  | 6  | 7  | 8  | 9  | 10 | Avg  |
|--------------------|--------|----|----|----|----|----|----|----|----|----|------|
| Air                | top    | 78 | 80 | 75 | 68 | 70 | 73 | 80 | 80 | 81 | 75   |
|                    | bottom | 50 | 43 | 60 | 45 | 65 | 70 | 78 | 70 | 70 | 62.1 |
| O <sub>2</sub>     | top    | 70 | 78 | 70 | 70 | 71 | 72 | 70 | 70 | 70 | 71.1 |
|                    | bottom | 62 | 70 | 70 | 65 | 0  | 88 | 71 | 61 | 50 | 65   |
| Ar                 | top    | 78 | 80 | 70 | 80 | 78 | 70 | 70 | 80 | 77 | 74   |
|                    | bottom | 81 | 70 | 66 | 75 | 67 | 70 | 70 | 60 | 72 | 69.6 |
| N <sub>2</sub>     | top    | 70 | 70 | 69 | 65 | 70 | 70 | 78 | 70 | 78 | 71.4 |
|                    | bottom | 69 | 60 | 69 | 70 | 70 | 65 | 70 | 62 | 62 | 66.9 |
| no gas             | top    | 77 | 75 | 76 | 77 | 78 | 77 | 75 | 76 | 77 | 75   |
|                    | bottom | 47 | 54 | 47 | 43 | 43 | 45 | 48 | 48 | 45 | 46   |

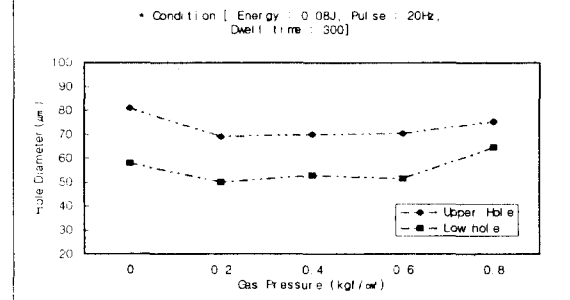


Fig. 7 Dependence of hole diameter on gas supply pressure of upper direction

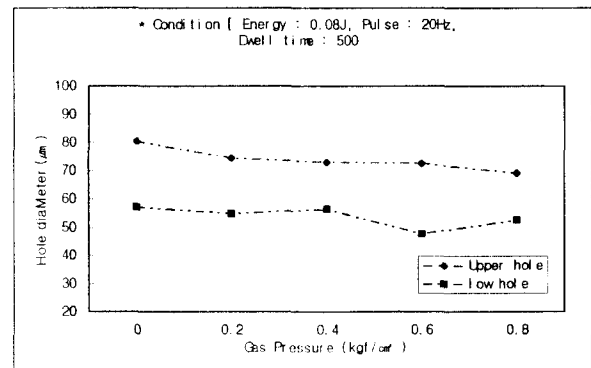


Fig. 8 Dependence of hole diameter on gas supply pressure of upper and low direction

Table 7 Data of hole size on gas supply of upper direction pressure (unit :  $\mu\text{m}$ )

|     |        | hole no                      | 1  | 2  | 3  | 4  | 5  | 6  | 7  | 8  | 9  | 10   | Avg |
|-----|--------|------------------------------|----|----|----|----|----|----|----|----|----|------|-----|
|     |        | P( $\text{kg}/\text{cm}^2$ ) | 1  | 2  | 3  | 4  | 5  | 6  | 7  | 8  | 9  | 10   |     |
| 0   | top    | 80                           | 78 | 82 | 85 | 80 | 80 | 80 | 80 | 85 | 80 | 81.0 |     |
|     | bottom | 60                           | 60 | 62 | 60 | 52 | 60 | 59 | 60 | 55 | 52 | 58.0 |     |
| 0.2 | top    | 71                           | 70 | 61 | 69 | 69 | 70 | 70 | 71 | 70 | 70 | 69.1 |     |
|     | bottom | 55                           | 58 | 55 | 60 | 56 | 41 | 0  | 60 | 55 | 60 | 50.0 |     |
| 0.4 | top    | 70                           | 70 | 70 | 70 | 70 | 70 | 70 | 70 | 70 | 70 | 70.0 |     |
|     | bottom | 70                           | 60 | 65 | 50 | 0  | 50 | 55 | 60 | 68 | 50 | 52.8 |     |
| 0.6 | top    | 65                           | 63 | 71 | 70 | 70 | 70 | 75 | 70 | 80 | 70 | 70.4 |     |
|     | bottom | 60                           | 0  | 0  | 70 | 68 | 58 | 68 | 60 | 68 | 63 | 51.5 |     |
| 0.8 | top    | 78                           | 71 | 76 | 72 | 75 | 70 | 78 | 80 | 78 | 75 | 75.3 |     |
|     | bottom | 70                           | 60 | 60 | 70 | 60 | 60 | 65 | 70 | 70 | 60 | 64.5 |     |

Table 8 Data of hole size on gas supply of upper and low direction (unit :  $\mu\text{m}$ )

|     |        | hole no                      | 1  | 2  | 3  | 4  | 5  | 6  | 7  | 8  | 9  | 10   | Avg |
|-----|--------|------------------------------|----|----|----|----|----|----|----|----|----|------|-----|
|     |        | P( $\text{kg}/\text{cm}^2$ ) | 1  | 2  | 3  | 4  | 5  | 6  | 7  | 8  | 9  | 10   |     |
| 0   | top    | 80                           | 80 | 80 | 81 | 82 | 80 | 80 | 80 | 80 | 80 | 80.3 |     |
|     | bottom | 60                           | 60 | 58 | 61 | 48 | 50 | 60 | 60 | 55 | 60 | 57.2 |     |
| 0.2 | top    | 80                           | 70 | 80 | 70 | 74 | 65 | 75 | 80 | 75 | 75 | 74.4 |     |
|     | bottom | 60                           | 70 | 40 | 40 | 50 | 69 | 61 | 50 | 53 | 0  | 54.8 |     |
| 0.4 | top    | 75                           | 70 | 69 | 72 | 75 | 70 | 73 | 75 | 76 | 75 | 73.0 |     |
|     | bottom | 47                           | 55 | 65 | 60 | 65 | 55 | 60 | 50 | 49 | 58 | 56.4 |     |
| 0.6 | top    | 75                           | 85 | 72 | 71 | 70 | 69 | 70 | 70 | 72 | 71 | 72.5 |     |
|     | bottom | 32                           | 33 | 68 | 0  | 30 | 60 | 40 | 50 | 52 | 65 | 47.8 |     |
| 0.8 | top    | 70                           | 70 | 71 | 70 | 72 | 69 | 70 | 65 | 69 | 65 | 69.1 |     |
|     | bottom | 65                           | 20 | 23 | 70 | 0  | 58 | 60 | 60 | 65 | 0  | 52.6 |     |

Fig.7과 Fig.8에서는 보조가스로  $\text{O}_2$ 를 사용하여 공급방법을 상방향 공급과 상하방향 공급으로 실험하였고, 압력의 변화를 주면서 실험 하였다. 조사시간은  $300\mu\text{s}$ 로 Fig.7은 상방향 Fig.8은 상하방향에서의 가공결과를 보여준다. 이때 보조가스압이  $0.2\text{kg}/\text{cm}^2$ 에서 표면상태가 거의 표가 나지 않을 정도로 열영향이 적고 매끄러운 표면상태가 되었으며 압력이 높아질수록 구멍형상은 크게 변화가 없으나 용융깊이가 깊어짐을 확인할 수 있었다. 또한, 가스공급 방법에서 상방향 공급보다 상하 방향에서 공급한 것이 아랫면 구멍형상에서 편차가 심하게 나타났고, 실험결과 상방향에서 공급하는 것이 바람직하다고 판단된다. 또한, 보조가스 압력의 변화에 따른 미세 구멍가공에서의 특성도 적합한 조건이 존재함을 알았다.

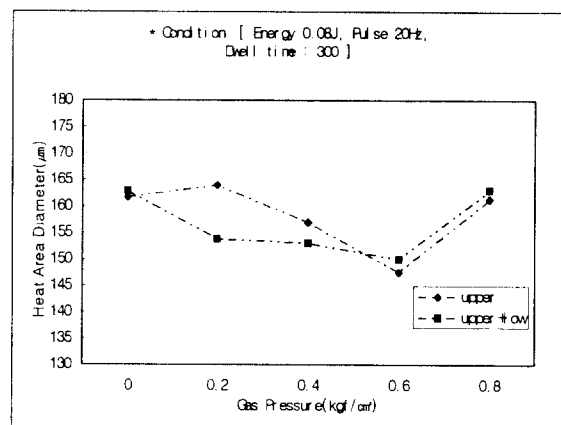


Fig. 9 Dependence of heat effect area on gas supply pressure of upper and upper + low direction

Fig.9와 Table 9,10에서 조사시간  $300\mu\text{s}$ 으로 보조가스를 상방향에서 공급과 상하방향에서 공급하여 실험하고, 열영향부를 측정한 결과 열영향부에서 크기의 편차는 상방향보다 상하방향에서 보조가스를 공급한 것이 크다는 것을 확인할 수 있었다. 결국 보조가스의 압력 변화에서는 보조가스의 압력이 커질수록 구멍형상의 변화는 크지 않지만 열영향부에서 깊이가 깊어진다는 것을 알았고,  $0.2\text{kg}/\text{cm}^2$ 에서 표면상태가 가장 우수함을 확인하였다.

Table 9 Data of heat area hole size on gas supply of upper direction (unit :  $\mu\text{m}$ )

|     |     | hole no                      | 1   | 2   | 3   | 4   | 5   | 6   | 7   | 8   | 9     | 10 | Avg |
|-----|-----|------------------------------|-----|-----|-----|-----|-----|-----|-----|-----|-------|----|-----|
|     |     | P( $\text{kg}/\text{cm}^2$ ) | 1   | 2   | 3   | 4   | 5   | 6   | 7   | 8   | 9     | 10 |     |
| 0   | 172 | 156                          | 158 | 170 | 175 | 155 | 173 | 154 | 150 | 154 | 161.7 |    |     |
| 0.2 | 160 | 160                          | 160 | 160 | 160 | 170 | 170 | 170 | 170 | 160 | 164.0 |    |     |
| 0.4 | 160 | 165                          | 165 | 165 | 160 | 160 | 150 | 150 | 150 | 145 | 157.0 |    |     |
| 0.6 | 140 | 140                          | 150 | 170 | 150 | 140 | 140 | 150 | 155 | 140 | 147.5 |    |     |
| 0.8 | 150 | 180                          | 160 | 160 | 160 | 160 | 161 | 170 | 172 | 140 | 161.3 |    |     |

Table 10 Data of heat area hole size on gas supply of upper+low direction (unit :  $\mu\text{m}$ )

|     |     | hole no                      | 1   | 2   | 3   | 4   | 5   | 6   | 7   | 8   | 9     | 10 | Avg |
|-----|-----|------------------------------|-----|-----|-----|-----|-----|-----|-----|-----|-------|----|-----|
|     |     | P( $\text{kg}/\text{cm}^2$ ) | 1   | 2   | 3   | 4   | 5   | 6   | 7   | 8   | 9     | 10 |     |
| 0   | 164 | 169                          | 165 | 157 | 167 | 167 | 161 | 158 | 160 | 161 | 162.9 |    |     |
| 0.2 | 160 | 130                          | 180 | 160 | 150 | 150 | 148 | 150 | 160 | 150 | 153.8 |    |     |
| 0.4 | 155 | 150                          | 160 | 160 | 150 | 155 | 150 | 150 | 160 | 140 | 153.0 |    |     |
| 0.6 | 130 | 140                          | 180 | 140 | 150 | 140 | 170 | 160 | 150 | 140 | 150.0 |    |     |
| 0.8 | 140 | 170                          | 160 | 170 | 170 | 180 | 170 | 160 | 150 | 160 | 163.0 |    |     |

#### 4. 결 론

본 연구에서는  $\text{Al}_2\text{O}_3$  세라믹 박판에서의 미세구멍 가공에 있어서 가공조건, 초점거리, 보조가스 종류 및 압력이 미치는 영향에 대하여 실험한 결과는 다음과 같다.

- 1) 알루미나 구멍가공의 적절한 가공조건에서는 레이저 에너지 0.08J, 주파수 20Hz, 조사시간  $300\mu\text{s}$ , 보조가스 종류  $\text{O}_2$  가스압력  $0.2\text{kgf/cm}^2$ 로 나타났다.
- 2) 초점위치에 따라 구멍형상과 크기가 변화됨을 확인할 수 있었다.
- 3) 보조가스의 종류에 있어 가스공급이 없는 경우는 크기가 비교적 일정한 구멍을 얻었으나, 형상이 매끄럽지 못하였고, 가스압이 높으면 용융후 재응고 과정에서 편차가 심하고,  $0.2\text{kgf/cm}^2$ 에서 가장 양호한 표면을 얻을 수 있었다.

#### 참고문헌

- 1) Paek, u.-c. and Gagliano, F.P., "Thermal Analysis of Laser Drilling Processes", IEEE Journal of Quantum Electronics, Vol. QE-8, 1972, pp.112-119.
- 2) Dabby, F.W. and pack, u.-c., "High-Intensity Solid Material", IEEE Journal of Quantum Electronics, Vol. QE-8, 1972, pp 106-111.
- 3) Von Allmen, M., "Laser Drilling Velocity in Metals" Journal of Applied Physics, Vol. 47, 1976, pp 5460-5463.
- 4) Risch, T.K. and Lanb, B., "General Model for Thermochemical Ablation into avacuum", Journal of thermophysics and Heat Transfer, Vol.4, No3, 1990, pp 278-284.
- 5) Wei, P.S. and Ho, J.Y., "Energy Considerations in High-Energy Beam Drilling", International Journal of Heat and Mass Transfer, Vol.33, No10, 1990, pp.2207-2216
- 6) Modest, M.F. and Abakams, H., "Evaporative Cutting of a Semi-Infinite Body With a Moving Cw Laser", ASME Journal of Heat Transfer, Vol.108, 1986, pp 602-607.
- 7) Roy, S., and Modest, M.F., " Three-Dimensional Conduction Effects During Evaporative Scribing With a CW Laser, " Journal of Thermophysics and Heat Transfer, Vol.4, No2, 1990, pp. 199-203.
- 8) Bang, S.Y. and Modest, M.F., " Multiple Reflection Effects on Evaporative Cutting With a Moving CW Laser, " ASME Journal of Heat Transfer, Vol.113, No.3, 1991, pp. 663-669.
- 9) Chen, S. L., and Steen, W. M., " The Theortical Investigation of Gas Assisted Laser Cutting," In the Proceedings of ICALEO', 91, 1992, pp. 221-230.
- 10) S. J. NA, " Effect of Shielding Gas Pressure in Laser Cutting of Sheet Metals" ASME, Vol.111, 1989, pp. 314-318.
- 11) Biyikli,S. and Modest,M.F., "Beam Expansion and Focusing Effects on Evaporative Laser Cutting", ASME Journal of Heat Transter, Vol.110, 1988, pp. 529-532.
- 12) Borkin, A.G., Drobyazko, S.V., Levchenko, E.B., Senatorov, Y.M., and Turygin,A.Y., "Self-focusing and Waveguide Propagation of Radiation in the Case of Deep Penetration of a Metal by a Laser Beam" Soviet Journal of Quantum Electronics, Vol. 15, 1985, pp. 1515-1523.
- 13)森田昇. 외1, " ヤラミクスの レーザ" 穴あけにおける 焦点位置が" 加工穴 形状に 及ぼす" 影響 journal of the Ceramic Society of Japan 102, (2) 1994, pp. 189-193.